



مهندسی مکانیک جامدات

<http://jsme.iaukhsh.ac.ir>

تحلیل ارتعاشات آزاد ورق ساندویچی دایره‌ای با رویه‌های هدفمند تحت شرایط تکیه‌گاهی گیردار

یونس محمدی^{۱*}، کیوان حسینی صفری^۲، محسن رحمانی^۳

* نویسنده مسئول: u.mohammadi@qiau.ac.ir

واژه‌های کلیدی

ارتعاشات آزاد	
ورق ساندویچی مدور	
مواد هدفمند	
خواص وابسته به دما	
تکیه‌گاه گیردار	
تاریخ ارسال:	۹۵/۰۳/۲۹
تاریخ بازنگری:	۹۵/۱۰/۱۲
تاریخ پذیرش:	۹۵/۱۰/۲۸

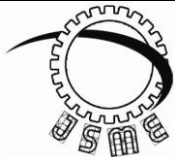
چکیده

در این پژوهش ارتعاشات آزاد ورق ساندویچی مدور گیردار با رویه‌هایی از مواد با تابع هدفمند وابسته به دما در محیط‌های حرارتی مختلف بررسی شده است. خواص مواد در رویه‌های هدفمند به صورت تابعی از دما در نظر گرفته شده و به طور پیوسته در امتداد ضخامت، با توزیع توانی بر حسب کسر حجمی اجزای تشکیل دهنده، تغییر می‌کنند. همچنین خواص ماده در هسته نیز وابسته به دما در نظر گرفته شده است. معادلات حاکم بر حرکت در ارتعاشات آزاد در دستگاه مختصات قطبی با استفاده از اصل همیلتون به دست آمده و از روش گلرکین برای حل معادلات و به دست آوردن فرکانس طبیعی استفاده شده است. تنش‌های صفحه‌ای هسته که معمولاً در مشخصه ارتعاشی سازه‌های ساندویچی نادیده گرفته می‌شوند در اینجا در نظر گرفته شده است. نتایج به دست آمده از حل گلرکین برای ورق ساندویچی دایره‌ای متقاضی با تکیه‌گاه گیردار با نتایج المان محدود که توسط نرم افزار ABAQUS به دست آمده است، مقایسه شده که نتایج قابل قبولی را ارائه می‌دهد. نتایج نشان می‌دهد که تغییرات دما و تغییرات توان تابع توانی اثر مهمی بر تغییرات فرکانس دارند.

۱- استادیار، دانشکده صنایع و مکانیک، واحد قزوین، دانشگاه آزاد اسلامی، قزوین، ایران.

۲- استادیار، دانشکده صنایع و مکانیک، واحد قزوین، دانشگاه آزاد اسلامی، قزوین، ایران

۳- دانشجوی دکتری، دانشکده صنایع و مکانیک، واحد قزوین، دانشگاه آزاد اسلامی، قزوین، ایران.



Free Vibration Analysis of Circular Sandwich Plates with Clamped FG Face Sheets

Yunes Mohammadi^{1,*}, Keivan Hosseini Safari², Mohsen Rahmani³

* Corresponding Author: u.mohammadi@qiau.ac.ir

Abstract:

Free vibration of sandwich plates with temperature dependent functionally graded (FG) face sheets in various thermal environments is investigated. The material properties of FG face sheets are assumed to be temperature-dependent and vary continuously through the thickness according to a power-law distribution in terms of the volume fractions of the constituents. Also, the material properties of the core are assumed to be temperature dependent. The governing equations of motion in polar system and in free natural vibration are derived using Hamilton's principle and Galerkin method is used to solve the equations and obtain the natural frequency. In-plane stresses of the core that usually are ignored in the vibration characteristics of the sandwich structures are considered in this formulation. The results obtained by Galerkin method for symmetric circular sandwich plate with fixed support is compared with finite element method that obtained by ABAQUS and good agreement is found. The results show that varying the power-law index and temperature have important effects on natural frequency.

Key words:

Free Vibration.
Circular Sandwich Plate.
Functionally Graded Material.
Temperature Dependent Properties.
Clamped Support.

1- Assistant Professor, Department of Industrial Engineering and Mechanical Engineering, Islamic Azad University, Qazvin, Iran.

2- Assistant Professor, Department of Industrial Engineering and Mechanical Engineering, Islamic Azad University, Qazvin, Iran.

3- PhD student, Department of Industrial Engineering and Mechanical Engineering, Islamic Azad University, Qazvin, Iran.

۱- مقدمه

از جنس مواد با تابع هدفمند ارائه کردند. معادلات حاکم بر اساس تئوری سه بعدی الاستیسیته به دست آمد [۵]. تورنابن و همکارانش [۶] یک فرمول عمومی برای تک لایه منفرد مرتبه بالای دو بعدی برای تحلیل ارتعاشات آزاد پوسته‌ها و پنل‌های کامپوزیت چند لایه دو انتخابی ضخیم و نازک با انتخابات مختلف ارائه دادند. هدف اصلی کار تعیین اپراتور بنیادین صریح است که هم در روش تک لایه منفرد و هم در روش لایه مجزا به کار می‌رود. بت‌شکنان دهکردی و همکارانش [۷] تحلیل دینامیکی غیرخطی ورق ساندویچی مستطیلی با هسته منعطف و رویه‌های کامپوزیتی چند لایه تقویت شده با سیم‌هایی از آلیاژهای حافظه‌دار را با استفاده از مدل‌های تک لایه منفرد و لایه مجزا در چارچوب فرمول یکپارچه Carrera ارائه دادند. چنگ و باترا [۸] نتایج کمانش و ارتعاشات حالت پایدار ورق چند ضلعی هدفمند با تکیه گاه ساده را بر اساس تئوری ورق ردی ارائه نمودند. اُ [۹] روش حل ریلی ریتزر برای ارتعاشات آزاد پوسته‌های استوانه‌ای با تکیه گاه ساده را ارائه کرد که ماده هدفمند از ترکیب فولاد ضد زنگ و نیکل تشکیل و از تئوری پوسته لاو استفاده شده بود. مانتاری [۱۰] تحلیل ارتعاشات آزاد ورق هدفمند که بر یک پی الاستیک قرار دارد را ارائه نمود. میدان جابه‌جایی بر اساس تئوری تغییر شکل برشی مرتبه بالا بود. شریف [۱۱] ارتعاشات آزاد خمشی ورق ساندویچی دورگیر دار را بررسی کرد که مشکل از لایه اصلی فولادی ویسکوالاستیک و محدود کننده آلومینیومی بود. همچنین اثر تنفس برشی و اینترسی چرخشی را برای ورق پایه در نظر گرفت که ورق پایه و ورق محدود کننده همگن و ایزوتروپیک بودند. پراکاش و گانپاتی [۱۲] ارتعاشات خمشی نامتقارن و پایداری ترموالاستیک ورق دایره‌ای هدفمند را با استفاده از روش المان محدود بررسی کردند. نای و ژنگ [۱۳] روش حل نیمه تحلیلی برای ارتعاشات سه بعدی ورق مدور هدفمند را مطالعه نمودند. لیو و لی [۱۴] ارتعاشات سه بعدی ورق‌های دایره‌ای و حلقوی را با استفاده از روش المان محدود و ژائو و همکارانش [۱۵] با استفاده از روش چیشیف-ریتزر بررسی کردند. وو و لی [۱۶] و وو و

امروزه به دلیل مزایایی که سازه‌های ساندویچی دارند استفاده از آنها افزایش پیدا کرده است. یکی از مهمترین خواص ساندویچ‌ها کاهش وزن و افزایش مقاومت مکانیکی سازه می‌باشد. از سازه‌های ساندویچی در صنایع مختلفی از جمله بیومکانیک، خودرو، هوا-فضا، عمران، مهندسی دریا و نظامی استفاده می‌شود. این سازه‌های سبک ساختاری ترکیبی دارند که از دو لایه به صورت رویه و یک لایه به عنوان هسته در آنها استفاده می‌شود. این سازه‌ها همچنین می‌توانند در برابر رطوبت و حرارت مقاومت خوبی داشته باشند. لایه‌های رویه لزوماً هم‌جنس و یکسان نیستند و با هسته‌ای که معمولاً تراکم پذیر است پیوند می‌یابند. در یک ورق پیشرفته ساندویچی از دو رویه با مواد هدفمند که لزوماً شبیه هم نیستند استفاده می‌شود. قرار گرفتن یک هسته نرم بین این رویه‌ها، باعث افزایش فاصله بین آنها و در نتیجه افزایش صلیبت خمشی ورق خواهد شد، در حالی که وزن سازه افزایش اندکی خواهد داشت.

مواد با تابع هدفمند، مواد چند هدفی هستند که شامل تغییرات فضایی در ترکیب و ریزساختارهایشان می‌باشند که هدف مشخصی از کنترل تغییرات حرارت، خواص تابعی یا سازه‌ای دارند. این مواد اکنون یکی از موضوعات اصلی در تحقیقات مربوط به مواد در جهان می‌باشند [۱، ۲]. مواد هدفمند به طور میکروسکوپی کامپوزیت غیرهمگن هستند که معمولاً از ترکیب فلز و سرامیک به دست می‌آیند. مزایای قابل توجهی که در این مواد نسبت به مواد متداول وجود دارد و اینکه نیاز به غله بر مشکلات فنی در محیط‌های دما بالا را برطرف می‌کنند، استفاده از سازه‌های ساندویچی با رویه‌های هدفمند را افزایش داده است [۱، ۲]. محققان زیادی رفتار مکانیکی ورق‌ها و پوسته‌های ساندویچی را بررسی کرده‌اند و تئوری‌های مختلفی از جمله روش الاستیک سه بعدی، تئوری تک لایه معادل و تئوری لایه مجزا را برای مدل‌سازی و تحلیل این سازه‌ها ارائه داده اند [۴]. علی بیگلو و لیو [۵] حل دقیق سه بعدی تحلیل ارتعاشات آزاد را برای پنل ساندویچی استوانه‌ای با هسته‌ای

[۲۴] ارتعاشات آزاد ورق ساندویچی مستطیلی با رویه‌های هدفمند وابسته به دما و با تکیه‌گاه ساده را بررسی کردند. بررسی کارهای محققین دیگر نشان می‌دهد که کارهای محدودی با در نظر گرفتن خواص وابسته به دمای هسته و رویه‌ها در سازه‌های ساندویچی به خصوص ورق ساندویچی دایره‌ای انجام شده است. نوآوری‌های این پژوهش عبارتند از:

۱- چون مواد هدفمند معمولاً در محیط‌های با دمای بالا استفاده می‌شوند، در این پژوهش برای ورق ساندویچی دایره‌ای، خواص اجزای رویه‌های هدفمند هم وابسته به دما و هم وابسته به مکان می‌باشند. خواص در جهت ضخامت با توزیع توانی بر حسب کسر حجمی اجزا تغییر می‌کنند و با تابع مرتبه سوم وابسته به دما می‌باشند. وقتی خواص ماده وابسته به دما و مکان در نظر گرفته می‌شود و دما نیز تابعی از مکان باشد، پیچیدگی مساله بیشتر خواهد شد. همچنین خواص هسته همگن نیز با تابع مرتبه سومی وابسته به دما می‌باشد.

۲- تنش‌های صفحه‌ای هسته که معمولاً در مشخصه ارتعاشی سازه‌های ساندویچی مدور نادیده گرفته می‌شوند در اینجا در نظر گرفته شده است.

۳- شرایط مرزی برای ورق ساندویچ دایره‌ای، به صورت تکیه‌گاه گیردار است.

۴- روش حلی که بیشتر برای معادلات ورق دایره‌ای استفاده می‌شود روش حل به کمک توابع بسل است، اما روش حلی که در این پژوهش استفاده شده، گلرکین می‌باشد.

در نهایت برای اعتبارسنجی، فرکانس بی بعد شده اول در تحلیل حاضر با نتیجه یکی از مراجع مقایسه می‌شود. همچنین نتایج به دست آمده از تحلیل حاضر در چندین حالت ساندویچی نیز با نتایج المان محدود به دست آمده از نرم‌افزار Abaqus مقایسه می‌شود. در ادامه از نتایج عددی تحلیل حاضر برای نشان دادن اثرات تغییر دما و توزیع کسر حجمی رویه‌های هدفمند بر روی ارتعاشات آزاد در حالت‌های مختلف صفحه مدور ساندویچی استفاده شده است.

همکارانش [۱۷] ارتعاشات آزاد ورق مدور را با روش قانون GDQ تحلیل کردند. کونگ و پائو [۱۸] ارتعاشات خمی غیرخطی ورق مدور گیردار در لبه‌ها را به صورت تجربی و تئوری بررسی کردند. بررسی هر دو کار محدود به مود اول متقارن می‌باشد. بخش مستقل از زمان معادلات غیرخطی ورق با روش ریتز-گلرکین به معادلات دافینگ کاسته می‌شود. قاهری و نشیر [۱۹] ارتعاشات غیرخطی اجباری ورق‌های نازک دایروی از جنس مواد هدفمند با در نظر گرفتن شرایط مرزی کلاسیک گیردار را بررسی نمودند و برای حل معادلات دینامیکی حاکم بر سیستم از روش اغتشاشات MMS و مدهای فرضی در دستگاه مختصات قطبی استفاده کردند. نیروی عرضی اعمالی را به طور هارمونیک، به فرکانس نوسان نزدیک به یکی از فرکانس‌های طبیعی نامتقارن سیستم در نظر گرفتند و پدیده‌های ارتعاشات غیرخطی مانند پرش و ریختانس داخلی را مورد بررسی قرارداده و اثرات شرایط مرزی، تغییرات کسر حجمی ماده هدفمند، دامنه و فرکانس نیروی خارجی اعمالی بر رفتار دینامیکی را مطالعه نمودند.

معمولًا هسته سازه‌های ساندویچی انعطاف پذیر است، بنابراین لازم است فشار جانبی نیز در نظر گرفته شود. به همین دلیل برخورد با این نوع مسائل از ارتعاشات سازه‌های ساندویچی با هسته انعطاف‌پذیر، مشکلت‌می‌شود. روش‌های مختلفی مانند روش ریتز و تئوری ورق ساندوچی مرتبه بالا توسط تعدادی از محققین استفاده شده است [۲۰]. ژوفنگ و همکارانش تحلیل ارتعاشات آزاد ورق مدور گیردار را در حین کوپل میدان تنش و دما بررسی کردند. معادلات غیرخطی با استفاده از روش گلرکین به دست آمد و نشان داده شد که اثر کوپل ترمولاستیک باعث افزایش فرکانس طبیعی می‌شود و اگر شرایط جابه‌جایی اولیه بزرگ باشد فرکانس طبیعی کاهش می‌یابد [۲۱]. فراستیگ و تامسون، ارتعاشات آزاد تیر ساندویچی با خواص هسته وابسته به دما و پاسخ غیر خطی صفحات ساندویچی تک جهته با خواص وابسته به دما را بررسی کردند [۲۲، ۲۳]. خلیلی و محمدی

هدفمند (پیوست الف) و همچنین با تغییر دما در هر لایه تغییر می‌کنند و $\rho_c(T_c)$ چگالی هسته است که با دما تغییر می‌کند.

تغییرات خواص ماده در رویه‌ها و هسته با دما، P ، همانند مدول یانگ و چگالی و ضریب انبساط حرارتی و ضریب پواسون با تابع غیرخطی مرتبه سوم از دما بیان شده است.

$$P = C_0 \left(C_{-1} T^{-1} + 1 + C_1 T + C_2 T^2 + C_3 T^3 \right) \quad (3)$$

که C_0, C_1, C_2, C_3 و C_{-1} برای هر کدام از اجزای ماده مجاز است و دما به شکل $(T = T_0 + \Delta T)$ تغییر می‌کند که $T_0 = 300K$ می‌باشد [۲۶]. با فرض تغییر شکل‌ها و چرخش‌های کوچک، میدان جابه‌جایی رویه‌ها بر اساس فرض‌های کریشهوف در دستگاه مختصات قطبی به صورت زیر در نظر گرفته شده است [۲۷]:

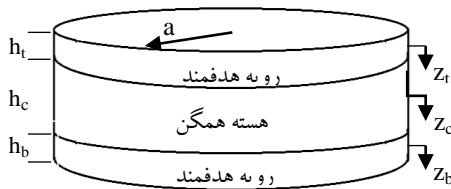
$$u_j(r, \theta, z, t) = u_{0j}(r, \theta, t) - z_j w_{j,r}(r, \theta, t) \quad (4)$$

$$v_j(r, \theta, z, t) = v_{0j}(r, \theta, t) - \frac{z_j}{r} w_{j,r}(r, \theta, t), \quad j = (t, b) \quad (5)$$

$$w_j(r, \theta, z, t) = w_{0j}(r, \theta, t) \quad (6)$$

که مطابق با شکل (۱)، $j = (t, b)$ و $u_{0j}(r, \theta, t)$ تغییر شکل‌های درون صفحه‌ای صفحه میانی $v_{0j}(r, \theta, t)$ ، r, θ و $w_{0j}(r, \theta, t)$ ، $j = (t, b)$ هر رویه هدفمند در جهات r و θ تغییر شکل عرضی هر رویه است که شش مجھول

جابه‌جایی رویه‌ها می‌باشند.



شکل (۱) هندسه صفحه ساندویچی مدور با رویه‌های هدفمند

در این تحقیق، میدان جابه‌جایی هسته به صورت توزیع چند جمله‌ای مربعی و مکعبی در نظر گرفته شده است [۲۴]. ضرایب این چند جمله‌ای مجھولند و به کمک اصل تغییراتی مشخص می‌شوند. میدان جابه‌جایی هسته به صورت زیر است:

$$u_c(r, \theta, z_c, t) = u_0(r, \theta, t) + u_1(r, \theta, t) z_c + u_2(r, \theta, t) z_c^2 + u_3(r, \theta, t) z_c^3 \quad (7)$$

۲- مدل سازی تئوری

معادلات حرکت برای ارتعاشات آزاد صفحه ساندویچی مدور در دستگاه مختصات قطبی و به کمک اصل همیلتون به دست می‌آید [۲۵]:

$$\int_{t1}^{t2} (\delta K + \delta U) dt = 0 \quad (1)$$

که در آن، K و U به ترتیب انرژی جنبشی و انرژی کرنشی می‌باشند و t مختصات زمانی است که بین زمان $t1$ و $t2$ تغییر می‌کند، یعنی زمان آغاز و زمان پایان. δ عملگر تغییرات است.

یک صفحه ساندویچی مدور به شعاع a ، هسته با ضخامت hc ، مدول یانگ و برشی Ec و Gc ، دو رویه هدفمند با ضخامت‌های ht و hb ، مدول یانگ $Ei(i=t, b)$ و ضریب پواسون $(i=t, b)$ مطابق با شکل (۱) در نظر گرفته می‌شود. اندیس‌های t و b به ترتیب بیانگر رویه‌های بالایی و پایینی است. تغییرات انرژی جنبشی برای صفحه ساندویچی مدور با خواص وابسته به دما مطابق زیر می‌باشد [۲۵].

$$\begin{aligned} \int_{t1}^{t2} \delta K dt &= - \int_{t1}^{t2} \left\{ \int_0^a \int_0^{2\pi} \int_{-\frac{h_t}{2}}^{\frac{h_t}{2}} \rho_t(z_t, T_t) (\ddot{u}_t \delta u_t + \ddot{v}_t \delta v_t \right. \\ &\quad \left. + \ddot{w}_t \delta w_t) r dr d\theta dz_t + \int_0^a \int_0^{2\pi} \int_{-\frac{h_b}{2}}^{\frac{h_b}{2}} \rho_b(z_b, T_b) (\ddot{u}_b \delta u_b + \right. \\ &\quad \left. + \ddot{v}_b \delta v_b + \ddot{w}_b \delta w_b) r dr d\theta dz_b + \int_0^a \int_0^{2\pi} \int_{-\frac{h_c}{2}}^{\frac{h_c}{2}} \rho_c(T_c) (\ddot{u}_c \delta u_c + \right. \\ &\quad \left. + \ddot{v}_c \delta v_c + \ddot{w}_c \delta w_c) r dr d\theta dz_c \right\} dt \end{aligned} \quad (2)$$

که z_t, z_b و z_c به ترتیب مختصات عمودی رویه‌های بالا، پایین و هسته است و برای هر یک از صفحات میانی به سمت پایین اندازه‌گیری می‌شود، (u_i, v_i, w_i) ، $(\ddot{u}_i, \ddot{v}_i, \ddot{w}_i)$ مختصات در جهات r, θ, z ؛ (T_c) مطابق با هسته است. شتاب در جهات r, θ, z است. اندیس c مطابق با هسته است. تغییرات دما در رویه بالایی، رویه پایینی و هسته است. $\rho_t(z_t, T_t)$ و $\rho_b(z_b, T_b)$ چگالی رویه بالا و پایین هستند که در جهت ضخامت با z_t و z_b با تابع توانی

که σ_{rr}^j و σ_{00}^j تنش‌های نرمال صفحه‌ای و ϵ_{00}^j کرنش‌های عمودی صفحه‌ای خطی در رویه‌های بالا و پایین است. σ_{00}^{jT} و σ_{rr}^{jT} و d_{00}^j و d_{rr}^j تنش‌های حرارتی رویه‌ها و کرنش‌های غیرخطی رویه‌هاست. ϵ_{00}^c و σ_{00}^c و τ_{r0}^j و γ_{r0}^j تنش‌های و کرنش‌های برشی در رویه‌ها و هسته است. σ_{zz}^c و ϵ_{zz}^c تنش‌های و کرنش‌های عمودی در جهت عرضی هسته می‌باشند. τ_{rz}^c و τ_{0z}^c و γ_{rz}^c و V_b تنش‌های و کرنش‌های برشی هستند. V_t ، V_{core} حجم رویه‌ها و هسته و λ_{zi} و λ_{0i} ، λ_i و λ_{ri} ، $j = (t, b, c)$ ضرایب مجھول لاگرانژ هستند. مشاهده می‌شود که اثرات تنش‌های صفحه‌ای هسته نیز در این تحقیق در نظر گرفته شده است. با فرض تغییر شکل‌های کوچک، روابط سینماتیک خطی و غیرخطی رویه‌ها به صورت زیر به دست می‌آیند [۳۰].

$$\epsilon_{rr}^j(r, \theta, z_j, t) = u_{0j,r}(r, \theta, t) - z_j w_{j,rr}(r, \theta, t) \quad (17)$$

$$\epsilon_{00}^j(r, \theta, z_j, t) = \frac{1}{r^2} \{ r u_{0j}(r, \theta, t) - r v_{0j,0}(r, \theta, t) \} \quad (18)$$

$$\epsilon_{r0}^j(r, \theta, z_j, t) = \frac{1}{r^2} \{ r u_{0j,0}(r, \theta, t) + r^2 v_{0j,r}(r, \theta, t) - r v_{0j}(r, \theta, t) + 2 z_j w_{j,0}(r, \theta, t) - 2 r z_j w_{j,r0}(r, \theta, t) \} \quad (19)$$

$$d_m^j(r, \theta, z_j, t) = \frac{1}{2} (w_{j,r})^2 \quad (20)$$

$$d_{00}^j(r, \theta, z_j, t) = \frac{1}{2} \left(\frac{w_{j,0}}{r} \right)^2 \quad (21)$$

که (i) مشتق جزیی نسبت به i را بیان می‌کند. روابط سینماتیک برای هسته نیز به شکل زیر به دست می‌آیند [۲۹].

$$\epsilon_{rr}^c = u_{0,r}^c + z_c u_{1,r}^c + z_c^2 u_{2,r}^c + z_c^3 u_{3,r}^c \quad (22)$$

$$\epsilon_{00}^c = \frac{1}{r} [v_{0,0}^c + z_c v_{1,0}^c + z_c^2 v_{2,0}^c + z_c^3 v_{3,0}^c] \quad (23)$$

$$+ \frac{1}{r} [u_0^c + z_c u_1^c + z_c^2 u_2^c + z_c^3 u_3^c]$$

$$v_c(r, \theta, z_c, t) = v_0(r, \theta, t) + v_1(r, \theta, t) z_c + v_2(r, \theta, t) z_c^2 + v_3(r, \theta, t) z_c^3 \quad (8)$$

$$w_c(r, \theta, z_c, t) = w_0(r, \theta, t) + w_1(r, \theta, t) z_c + w_2(r, \theta, t) z_c^2 \quad (9)$$

که $w_l(l = 0, 1, 2)$ و $v_k(k = 0, 1, 2, 3)$ یازده مجھول جابه‌جایی هسته می‌باشند. شرایط سازگاری با فرض پیوند کامل بین وجه مشترک رویه بالا و پایین و هسته در $z_c = h_c/2, -h_c/2$ به صورت زیر است:

$$u_t(z_t = h_t/2) = u_c(z_c = -h_c/2) \quad (10)$$

$$v_t(z_t = h_t/2) = v_c(z_c = -h_c/2) \quad (11)$$

$$w_t(z_t = h_t/2) = w_c(z_c = -h_c/2) \quad (12)$$

$$u_c(z_c = h_c/2) = u_b(z_b = -h_b/2) \quad (13)$$

$$v_c(z_c = h_c/2) = v_b(z_b = -h_b/2) \quad (14)$$

$$w_c(z_c = h_c/2) = w_b \quad (15)$$

انرژی کرنشی برابر با مجموع انرژی کرنشی حرارتی و مکانیکی است. انرژی مکانیکی با استفاده از تنش‌های مکانیکی و کرنش‌های خطی و غیرخطی پتانسیل حرارتی با استفاده از تنش‌های حرارتی و کرنش‌های غیرخطی به دست می‌آیند [۲۸]. همچنین شش شرط سازگاری در وجه مشترک هسته و رویه‌های بالا و پایین در معادلات (۱۵-۱۰) با شش ضریب لاگرانژ مجھول در رابطه انرژی کرنشی وارد می‌شوند. بنابراین تغییرات انرژی کرنشی در دستگاه مختصات قطبی به صورت زیر نوشته می‌شود [۲۹، ۲۴].

$$\begin{aligned} \delta U = & \int_{V_t} (\sigma_{rr}^t \delta \epsilon_{rr}^t + \sigma_{rr}^{jT} \delta d_{rr}^t + \sigma_{00}^t \delta \epsilon_{00}^t \\ & + \sigma_{00}^{jT} \delta d_{00}^t + \tau_{r0}^t \delta \gamma_{r0}^t) dV + \int_{V_b} (\sigma_{rr}^b \delta \epsilon_{rr}^b + \\ & \sigma_{rr}^{bT} \delta d_{rr}^b + \sigma_{00}^b \delta \epsilon_{00}^b + \sigma_{00}^{bT} \delta d_{00}^b + \tau_{r0}^b \delta \gamma_{r0}^b) dV \\ & + \int_{V_{core}} (\sigma_{rr}^c \delta \epsilon_{rr}^c + \sigma_{00}^c \delta \epsilon_{00}^c + \sigma_{zz}^c \delta \epsilon_{zz}^c + \\ & \tau_{r0}^c \delta \gamma_{r0}^c + \tau_{rz}^c \delta \gamma_{rz}^c + \tau_{0z}^c \delta \gamma_{0z}^c) dV + \\ & \delta \int_0^{2\pi} \int_0^a [\lambda_n(u_t(z_t = h_t/2) - u_c(z_c = -h_c/2)) \\ & + \lambda_{0t}(v_t(z_t = h_t/2) - v_c(z_c = -h_c/2)) \\ & + \lambda_{zt}(w_t(z_t = h_t/2) - w_c(z_c = -h_c/2)) \\ & + \lambda_{rb}(u_b(z_b = h_b/2) - u_c(z_c = -h_c/2)) \\ & + \lambda_{zb}(v_b(z_b = h_b/2) - v_c(z_c = -h_c/2)) \\ & + \lambda_{rb}(w_c(z_c = h_c/2) - w_b(z_b = h_b/2))] r dr d\theta \end{aligned} \quad (16)$$

$$\begin{aligned} & -I_{1b}\ddot{u}_{0b} - I_{1b}r\ddot{u}_{0b,r} + I_{2b}\ddot{w}_{b,r} + I_{2t}r\ddot{w}_{b,r} \\ & -I_{1b}\ddot{v}_{0b,0} + \frac{I_{2b}}{r}\ddot{w}_{b,r0} - I_{0b}r\ddot{w}_b - 2M_{rr,r}^b \\ & -rM_{rr,rr}^b - N_{rr}^{BT}w_{b,r} - rN_{rr,r}^{BT}w_{b,r} \\ & -rN_{rr}^{BT}w_{b,rr} + 2M_{00,r}^b - \frac{2}{r}M_{00,rr}^b \\ & -\frac{h_b}{2}\lambda_{rb} - \frac{rh_b}{2}\frac{\partial\lambda_{rb}}{\partial r} - \frac{h_b}{2}\frac{\partial\lambda_{0b}}{\partial\theta} - r\lambda_{zb} = 0 \end{aligned} \quad (۴۳)$$

یازده معادله هسته به صورت زیر است:

$$\begin{aligned} & -I_{0c}r\ddot{u}_{0c} - I_{1c}r\ddot{u}_{1c} - I_{2c}r\ddot{u}_{2c} - I_{3c}r\ddot{u}_{3c} \\ & -R_{rr}^c - rR_{rr,r}^c + R_0^c - Q_{r0,0}^c - r\lambda_n + r\lambda_{rb} = 0 \end{aligned} \quad (۴۴)$$

$$\begin{aligned} & -I_{1c}r\ddot{u}_{0c} - I_{2c}r\ddot{u}_{1c} - I_{3c}r\ddot{u}_{2c} - I_{4c}r\ddot{u}_{3c} \\ & -M_{r1}^c - rM_{r1,r}^c + M_{01}^c + rQ_{rc} - M_{Q1r,0}^c \\ & +\frac{h_c}{2}r\lambda_n + \frac{h_c}{2}r\lambda_{rb} = 0 \end{aligned} \quad (۴۵)$$

$$\begin{aligned} & -I_{2c}r\ddot{u}_{0c} - I_{3c}r\ddot{u}_{1c} - I_{4c}r\ddot{u}_{2c} - I_{5c}r\ddot{u}_{3c} \\ & -M_{r2}^c - rM_{r2,r}^c + M_{02}^c + 2rM_{Q1rc} - M_{Q2r,0}^c \\ & -\frac{h_c^2}{4}r\lambda_n + \frac{h_c^2}{4}r\lambda_{rb} = 0 \end{aligned} \quad (۴۶)$$

$$\begin{aligned} & -I_{3c}r\ddot{u}_{0c} - I_{4c}r\ddot{u}_{1c} - I_{5c}r\ddot{u}_{2c} - I_{6c}r\ddot{u}_{3c} \\ & -M_{r3}^c - rM_{r3,r}^c + M_{03}^c + 3rM_{Q2rc} - M_{Q3r,0}^c \\ & +\frac{h_c^3}{8}r\lambda_n + \frac{h_c^3}{8}r\lambda_{rb} = 0 \end{aligned} \quad (۴۷)$$

$$\begin{aligned} & -I_{0c}r\ddot{v}_{0c} - I_{1c}r\ddot{v}_{1c} - I_{2c}r\ddot{v}_{2c} - I_{3c}r\ddot{v}_{3c} \\ & -R_{0,0}^c - 2Q_{r0}^c + rQ_{r0,r}^c - r\lambda_{0t} + r\lambda_{0b} = 0 \end{aligned} \quad (۴۸)$$

$$\begin{aligned} & -I_{1c}r\ddot{v}_{0c} - I_{2c}r\ddot{v}_{1c} - I_{3c}r\ddot{v}_{2c} - I_{4c}r\ddot{v}_{3c} \\ & -M_{01,0}^c + Q_{0c}r - 2M_{Q1r,0}^c - rM_{Q1r,0,r}^c \\ & +\frac{h_c}{2}r\lambda_{0t} + \frac{h_c}{2}r\lambda_{0b} = 0 \end{aligned} \quad (۴۹)$$

$$\begin{aligned} & -I_{2c}r\ddot{v}_{0c} - I_{3c}r\ddot{v}_{1c} - I_{4c}r\ddot{v}_{2c} - I_{5c}r\ddot{v}_{3c} \\ & -M_{02,0}^c + 2rM_{Q10c} - 2M_{Q2r,0}^c - rM_{Q2r,0,r}^c \\ & -\frac{h_c^2}{4}r\lambda_{0t} + \frac{h_c^2}{4}r\lambda_{0b} = 0 \end{aligned} \quad (۵۰)$$

$$\begin{aligned} & -I_{3c}r\ddot{v}_{0c} - I_{4c}r\ddot{v}_{1c} - I_{5c}r\ddot{v}_{2c} - I_{6c}r\ddot{v}_{3c} \\ & -M_{03,0}^c + 3rM_{Q20c} - 2M_{Q3r,0}^c - rM_{Q3r,0,r}^c \\ & +\frac{h_c^3}{8}r\lambda_{0t} + \frac{h_c^3}{8}r\lambda_{0b} = 0 \end{aligned} \quad (۵۱)$$

$$\begin{aligned} & -I_{0c}r\ddot{w}_{0c} - I_{1c}r\ddot{w}_{1c} - I_{2c}r\ddot{w}_{2c} - Q_{0z,0}^c \\ & -Q_{rc}^c - rQ_{rc,r}^c - r\lambda_{zt} - r\lambda_{zb} = 0 \end{aligned} \quad (۵۲)$$

$$\begin{aligned} & -I_{1c}r\ddot{w}_{0c} - I_{2c}r\ddot{w}_{1c} - I_{3c}r\ddot{w}_{2c} + -rR_z^c \\ & -\frac{\partial M_{Q10c,0}^c}{\partial\theta} - M_{Q1rc} - rM_{Q1rc,r}^c \\ & +\frac{h_c}{2}r\lambda_{zt} - \frac{h_c}{2}r\lambda_{zb} = 0 \end{aligned} \quad (۵۳)$$

$$\begin{aligned} & \varepsilon_{r0}^c = \frac{1}{r} \left[u_{0,0}^c + z_c u_{1,0}^c + z_c^2 u_{2,0}^c + z_c^3 u_{3,0}^c \right] \\ & + \left[v_{0,0}^c + z_c v_{1,0}^c + z_c^2 v_{2,0}^c + z_c^3 v_{3,0}^c \right] \end{aligned} \quad (۴۴)$$

$$\begin{aligned} & -\frac{1}{r} \left[v_0^c + z_c v_1^c + z_c^2 v_2^c + z_c^3 v_3^c \right] \\ & \varepsilon_{rz}^c = \left[u_1^c + 2u_2^c z_c + 3u_3^c z_c^2 \right] + \left[w_{0,r}^c + \right. \\ & \left. z_c w_{1,r}^c + z_c^2 w_{2,r}^c \right] \end{aligned} \quad (۴۵)$$

$$\begin{aligned} & \varepsilon_{0z}^c = \left[v_1^c + 2v_2^c z_c + 3v_3^c z_c^2 \right] + \frac{1}{r} \left[w_{0,r}^c + \right. \\ & \left. z_c w_{1,r}^c + z_c^2 w_{2,r}^c \right] \end{aligned} \quad (۴۶)$$

با استفاده از اصل همیلتون و عبارت انرژی جنبشی و انرژی کرنشی، روابط سینماتیک رویه‌های هدفمند و هسته، شرایط سازگاری مطابق با پیوند کامل در وجه مشترک رویه و هسته، منتجه‌های تنش رویه‌ها در پیوست (الف)، منتجه‌های تنش مرتبه بالای هسته و تنش های هسته در پیوست (پ) و بعد از محاسبات، تعداد بیست و سه معادله وجود دارد که شامل شش معادله تعادل برای هر رویه و یازده معادله برای هسته و شش معادله برای شرایط سازگاری می‌باشد.

سه معادله رویه بالایی به صورت زیر است:

$$\begin{aligned} & -I_{0t}\ddot{u}_{0t}r + I_{1t}r\ddot{w}_{t,r} - N_{rr}^t - rN_{rr,r}^t + N_{00}^t \\ & -N_{r0,0}^t + r\lambda_n = 0 \end{aligned} \quad (۴۸)$$

$$\begin{aligned} & -I_{0t}\ddot{v}_{0t}r + I_{1t}r\ddot{w}_{t,r} - N_{00,0}^t - rN_{r0,r}^t \\ & -2N_{r0}^t + r\lambda_{0t} = 0 \end{aligned} \quad (۴۹)$$

$$\begin{aligned} & -I_{1t}\ddot{u}_{0t} - I_{1t}r\ddot{u}_{0t,r} + I_{2t}r\ddot{w}_{t,r} + I_{2t}r\ddot{w}_{t,rr} \\ & -I_{1t}\ddot{v}_{0t,0} + \frac{I_{2t}}{r}\ddot{w}_{t,r0} - I_{0t}r\ddot{w}_t - 2M_{rr,r}^t \\ & -rM_{rr,rr}^t - N_{rr}^{TT}w_{t,r} - rN_{rr,r}^{TT}w_{t,r} \\ & -rN_{rr}^{TT}w_{t,rr} + 2M_{00,r}^t - \frac{2}{r}M_{00,rr}^t \\ & -\frac{N_{00}^{TT}}{r}w_{t,00} - N_{r0,r0}^t - M_{r0,r0}^t - \frac{4}{r}M_{r0,0}^t \\ & +\frac{h_t}{2}\lambda_n + \frac{rh_t}{2}\frac{\partial\lambda_n}{\partial r} + \frac{h_t}{2}\frac{\partial\lambda_{0t}}{\partial\theta} + r\lambda_{zt} = 0 \end{aligned} \quad (۵۰)$$

سه معادله رویه پایینی به شکل زیر می‌باشد:

$$\begin{aligned} & -I_{0b}\ddot{u}_{0b}r + I_{1b}r\ddot{w}_{b,r} - N_{rr}^b - rN_{rr,r}^b \\ & + N_{00}^b - N_{r0,0}^b - r\lambda_{rb} = 0 \end{aligned} \quad (۵۱)$$

$$\begin{aligned} & -I_{0b}\ddot{v}_{0b}r + I_{1b}r\ddot{w}_{b,r} - N_{00,0}^b - rN_{r0,r}^b \\ & -2N_{r0}^b - r\lambda_{rb} = 0 \end{aligned} \quad (۵۲)$$

$$Q_{r\theta}^c, M_{Q1r\theta}^c, M_{Q2r\theta}^c, M_{Q3r\theta}^c = \int_{-hc/2}^{hc/2} (1, z_c, z_c^2, z_c^3) \tau_{r\theta}^c dz_c \quad (54)$$

$$R_r^c, M_{r1}^c, M_{r2}^c, M_{r3}^c = \int_{-hc/2}^{hc/2} (1, z_c, z_c^2, z_c^3) \sigma_{rr}^c dz_c \quad (55)$$

$$R_0^c, M_{01}^c, M_{02}^c, M_{03}^c = \int_{-hc/2}^{hc/2} (1, z_c, z_c^2, z_c^3) \sigma_{00}^c dz_c \quad (56)$$

به منظور تعیین معادلات حاکم بر حرکت، عبارات منتجه تنش مرتبه بالای هسته باید بر حسب مولفه‌های جابه‌جایی تعریف شوند. میدان تنش و عبارات مرتبه بالاتر با در نظر گرفتن این که هسته ایزوتروپ است و با استفاده از جابه‌جایی‌های معادلات (۴-۷) و ترم‌های مرتبه بالای معادلات (۵۶-۵۱) به دست می‌آیند. در نهایت، معادلات حاکم حرکت با جایگذاری منتجه‌های تنش رویه‌ها از پیوست (الف) در معادلات حاکم بر رویه‌ها و تنش‌های هسته از پیوست (پ) در معادلات هسته به دست می‌آیند. این معادلات بر حسب بیست و سه مجھول به دست می‌آیند که شامل شش جابه‌جایی عمودی و صفحه‌ای رویه‌ها، شش ضربی لاغرانژ و یازده ضربی چند جمله‌ای هسته است. برای حالت ورق ساندویچی دایره‌ای با شرایط تکیه گاه گیردار، حل این معادلات به کمک روش گلرکین در بخش بعدی ارائه می‌شود.

۳- صفحه ساندویچی مدور با تکیه‌گاه گیردار

روش حل گلرکین برای حالت صفحه ساندویچی مدور با تکیه‌گاه گیردار انتخاب شده است. رویه‌ها از مواد با تابع هدفمند و هسته ایزوتروپ در نظر گرفته شده است. برای این حالت یک روش تحلیلی به کمک توابع مثلثاتی ارائه شده است که شرط‌های مرزی هندسی را برآورده می‌کند:

$$u_{0j} = [C_{uj} r \sin \lambda r] e^{i \omega t}, \quad (j = t, b) \quad (57)$$

$$v_{0j} = 0, \quad (j = t, b) \quad (58)$$

$$w_{0j} = [C_{wj} (\cos \lambda r + r \lambda \sin \lambda r - \lambda a)] e^{i \omega t}, \quad (j = t, b) \quad (59)$$

$$u_k = [C_{uk} r \sin \lambda r] e^{i \omega t}, \quad k = (0, 1, 2, 3) \quad (60)$$

$$v_{k=0} = 0, \quad k = (0, 1, 2, 3) \quad (61)$$

$$\begin{aligned} & -I_{2c} r \ddot{w}_{0c} - I_{3c} r \ddot{w}_{1c} - I_{4c} r \ddot{w}_{2c} + 2rM_z^c \\ & -M_{Q20c,\theta}^c - M_{Q2rc}^c - rM_{Q2rc,r}^c \\ & -\frac{h_c^2}{4} r \lambda_{zr} + \frac{h_c^2}{4} r \lambda_{zb} = 0 \end{aligned} \quad (44)$$

و شش معادله سازگاری نیز به صورت زیر می‌باشد:

$$\begin{aligned} u_{0t} - \frac{h_t}{2} \frac{\partial w_t}{\partial r} - u_{0c} + \frac{h_c}{2} u_{1c} - \frac{h_c^2}{4} u_{2c} \\ + \frac{h_c^3}{8} u_{3c} = 0 \end{aligned} \quad (45)$$

$$\begin{aligned} v_{0t} - \frac{h_t}{2r} \frac{\partial w_t}{\partial \theta} - v_{0c} + \frac{h_c}{2} v_{1c} - \frac{h_c^2}{4} v_{2c} \\ + \frac{h_c^3}{8} v_{3c} = 0 \end{aligned} \quad (46)$$

$$w_{0t} - w_{0c} + \frac{h_c}{2} w_{1c} - \frac{h_c^2}{4} w_{2c} = 0 \quad (47)$$

$$\begin{aligned} u_{0c} + \frac{h_c}{2} u_{1c} + \frac{h_c^2}{4} u_{2c} + \frac{h_c^3}{8} u_{3c} - u_{0b} \\ - \frac{h_b}{2} \frac{\partial w_b}{\partial r} = 0 \end{aligned} \quad (48)$$

$$\begin{aligned} v_{0c} + \frac{h_c}{2} v_{1c} + \frac{h_c^2}{4} v_{2c} + \frac{h_c^3}{8} v_{3c} \\ - v_{0b} - \frac{h_b}{2r} \frac{\partial w_b}{\partial \theta} = 0 \end{aligned} \quad (49)$$

$$w_{0c} + \frac{h_c}{2} w_{1c} + \frac{h_c^2}{4} w_{2c} - w_{0b} = 0 \quad (50)$$

که $N_{nr}^j, N_{00}^j, N_{r0}^j, M_{nr}^j, M_{00}^j, M_{r0}^j, (j = t, b)$ منتجه‌های تنش و گشتاور رویه‌های بالا و پایین است (پیوست الف). عبارات اینرسی I_{kt}, I_{kb} ($k = 0, 1, 2$) عبارت اینرسی رویه‌های بالا و پایین و I_{lc} ($l = 0, \dots, 6$) عبارت اینرسی هسته است (پیوست ب). هشت منتجه تنش مرتبه بالای ناشی از تنش‌های خارج از صفحه هسته برابر است با:

$$Q_r, M_{Q1rc}, M_{Q2rc} = \int_{-hc/2}^{hc/2} (1, z_c, z_c^2) \sigma_{rz}^c dz_c \quad (51)$$

$$Q_{0c}, M_{Q10c}, M_{Q20c} = \int_{-hc/2}^{hc/2} (1, z_c, z_c^2) \sigma_{0z}^c dz_c \quad (52)$$

$$R_{zc}, M_{zc} = \int_{-hc/2}^{hc/2} (1, z_c) \sigma_{zz}^c dz_c \quad (53)$$

و چون اثرات تنش‌های صفحه‌ای هسته در این تحقیق در نظر گرفته شده، دوازده منتجه تنش مرتبه بالای ناشی از تنش‌های صفحه‌ای هسته نیز در معادلات حرکت ظاهر می‌شوند که برابر است با:

ساندویچ های مختلف محاسبه شده و در جداول ارائه خواهد شد.

۵- اعتبار سنجی

به منظور اعتبارسنجی تحلیل حاضر، نتایج به دست آمده از این روش با نتایج به دست آمده در مرجع [۱۲] مقایسه می شود. ورق دور هدفمندی با شعاع a که از آلومینیوم با مدول یانگ 70GPa و چگالی 2700 kg/m^3 و آلومینا با مدول یانگ 380GPa و چگالی 3800 kg/m^3 و ضریب پواسون ثابت 0.3 تشکیل شده است را در نظر بگیرید. فرکانس طبق رابطه زیر بی بعد می شود.

$$\lambda = \omega a^2 \sqrt{\frac{\rho_c h}{D_c}} \quad (68)$$

$$D_c = \frac{E_c h^3}{12(1-\nu^2)}$$

که ρ_c چگالی سرامیک، E_c مدول یانگ سرامیک و h ضخامت ورق می باشد. با در نظر گرفتن ورق دور به صورت ایزوتropیک و در حالت سرامیک خالص، فرکانس بی بعد اول در حالت گیردار در مرجع [۱۲] و تحلیل حاضر در جدول (۱) ارائه می شود.

جدول (۱) مقایسه فرکانس بی بعد اول تحلیل حاضر و مرجع [۱۲]

فرکانس بی بعد اول	۹/۸۶۴۲	مرجع [۱۲]	تحلیل حاضر
۱۰/۲۱۳			

اختلاف بین نتایج به دلیل تفاوت روش های استفاده شده در هر یک می باشد. در تحلیل حاضر از تئوری مرتبه بالای اصلاح شده ورق برای به دست آوردن نتایج استفاده شده است، در حالی که در مرجع [۱۲] از روش المان محدود استفاده گردیده است.

۶- بررسی عددی

اکنون برای بررسی بیشتر نتایج، یک ورق ساندویچی مدور هدفمند که در شکل (۲) نشان داده شده را در نظر بگیرید. سطح داخلی رویه ها در $z_c = \pm h_c / 2$ از فولاد ضدزنگ با مدول یانگ و چگالی 207 GPa و 8166 kg/m^3 ساخته

$$w_l = [C_{wl} (\cos \lambda r + r \lambda \sin \lambda r - \lambda a)] e^{i \omega t} \quad (62)$$

$$, l = (0, 1, 2)$$

$$\lambda_{ij} = [C_{\lambda_{ij}} r \sin \lambda r] e^{i \omega t}, (j = t, b) \quad (63)$$

$$\lambda_{0j} = 0, (j = t, b) \quad (64)$$

$$\lambda_{zj} = [C_{\lambda_{zj}} (\cos \lambda r + r \lambda \sin \lambda r - \lambda a)] e^{i \omega t} \quad (65)$$

$$, j = (t, b)$$

$$\lambda = \frac{\pi}{2a} (2(2m-1)-1) \quad (66)$$

که ضرایب C_{uj} ، $C_{\lambda_{uj}}$ ، C_{wl} ، C_{uk} ، C_{wj} و $C_{\lambda_{wj}}$ پانزده ثابت مجهول در سری ها هستند. C_{uj} چهار ثابت رویه ها، C_{wl} و C_{uk} هفت ثابت هسته و $C_{\lambda_{uj}}$ و $C_{\lambda_{wj}}$ چهار ثابت لاغرانژ می باشند. به دلیل تقارن، معادلات از بیست و سه به پانزده کاهش و تعداد مجهولات معادله کم می شود.

۴- کاهش تعداد معادلات

کاهش تعداد معادلات شامل جداسازی چهار ثابت مجهول رویه بر حسب تابعی از هفت ثابت هسته با استفاده از شیش معادله سازگاری است که با جداسازی چهار ضریب لاغرانژ بر حسب چهار ثابت رویه همراه است [۲۴]. ثابت های جدادشده رویه ها در هفت معادله هسته جایگزین می شوند. در نهایت هفت معادله بر حسب هفت ثابت هسته باقی می ماند. هر چند مجموعه معادلات شامل پانزده ثابت است اما در حقیقت هفت فرکانس ویژه مستقل داریم. بنابراین ماتریس های سفتی و جرم با ابعاد 7×7 به دست می آیند که منجر به گروهی از معادلات همگن برای هر شماره موج m می شود که در ماتریس های جرم و سفتی ممکن است تعریف شده باشد که فرکانس ویژه برابر با مقدار ویژه و ثابت های سری ها برای هر شماره موج m بردار ویژه های متناظر است که به صورت زیر می باشد.

$$(k_m - \omega_m^2 M_m) C_m = 0 \quad (67)$$

در این معادله k_m و M_m ماتریس های سفتی و جرم هستند که متناظر با عبارت هارمونیک m در سری ها می باشند. ω_m فرکانس ویژه متناظر با مقدار m است. صفر بردار خنثی است و C_m بردار ویژه و مولفه های آن برابر با هفت ثابت هسته است. در اینجا فرکانس ویژه مربوط به $m=1$ برای

در جداول (۳)، (۴) و (۵) اولین فرکانس طبیعی به دست آمده از این روش با اولین فرکانس طبیعی به دست آمده از نرم افزار در دمای $T=300K$ برای k (توان تابع توانی) های مختلف در ساندویچ‌های ۱-۸-۱، ۱-۱-۱، ۱-۲-۱ مقایسه شده است که اختلاف قابل قبولی را نشان می‌دهند. ثابت مثبت توان تابع توانی (k) مربوط به نحوه توزیع سرامیک و فلز در رویه‌های هدفمند می‌باشد (پیوست الف). به دلیل اینکه در مدل‌سازی ورق ساندویچی مدور در نرم افزار المان محدود، رویه‌های هدفمند علی رغم تغییرات پیوسته به صورت لایه‌های مجزا و به صورت گسته در نظر گرفته شده است، بین نتایج تحلیل حاضر و نتایج المان محدود اختلاف دیده می‌شود.

جدول (۳) مقایسه نتایج تحلیل حاضر و نتایج به دست آمده از نرم افزار

در دمای ($T=300K$) برای ساندویچ ۱-۸-۱

اندیس توانی	تحلیل حاضر	آباکوس	اختلاف(%)
۶/۶۸	۰/۰۰۰۵۴۳۱	۰/۰۰۰۵۸۲۰	۰/۱
۸/۳۹	۰/۰۰۰۵۶۱۰	۰/۰۰۰۶۱۲۴	۱
۹/۹	۰/۰۰۰۵۷۸۵	۰/۰۰۰۶۴۲۷	۵

جدول (۴) مقایسه نتایج تحلیل حاضر و نتایج به دست آمده از نرم افزار

در دمای ($T=300K$) برای ساندویچ ۱-۱-۱

اندیس توانی	تحلیل حاضر	آباکوس	اختلاف(%)
۹/۶	۰/۰۰۰۸۰۱۰	۰/۰۰۰۸۶۴	۰/۱
۱۰/۳۳	۰/۰۰۰۸۴۲۲	۰/۰۰۰۹۳۹۳	۱
۱۰/۶۸	۰/۰۰۰۹۱۱	۰/۰۰۱۰۲۰	۵

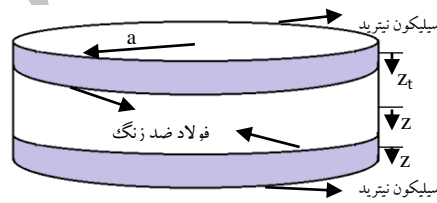
جدول (۵) مقایسه نتایج تحلیل حاضر و نتایج به دست آمده از نرم افزار

در دمای ($T=300K$) برای ساندویچ ۱-۲-۱

اندیس توانی	تحلیل حاضر	آباکوس	اختلاف(%)
۸/۸۵	۰/۰۰۰۶۹۹۷	۰/۰۰۰۷۶۷۷	۰/۱
۹/۰۴	۰/۰۰۰۷۵۱۲	۰/۰۰۰۸۲۵۹	۱
۹/۷۴	۰/۰۰۰۸۰۵۴	۰/۰۰۰۸۹۲۳	۵

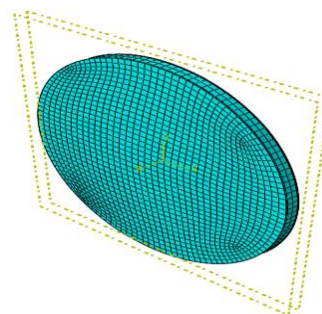
نتایج بدست آمده از این روش برای ساندویچ‌های ۱-۸-۱، ۱-۱-۱ و ۱-۲-۱ به ترتیب در جداول (۴-۶) ارائه گردیده است که مشاهده می‌شود با کاهش دما و افزایش توان تابع توانی مقدار فرکانس طبیعی افزایش می‌یابد. افزایش توان باعث افزایش مقدار سرامیک در رویه‌ها می‌شود که باعث

شده است. همچنین سطح خارجی رویه‌ها از سیلیکون نیترید با مدول یانگ و چگالی $348GPa$ و $2707 kg / m^3$ ساخته شده است. مدول یانگ، چگالی و خواص دیگر هر رویه مطابق با قانون تابع توانی و با تغییرات دما تغییر می‌کنند. هسته منعطف در صفحه ساندویچی نیز از فولاد ضد زنگ ساخته شده و خواص آن وابسته به دما می‌باشد. در جدول (۲) که در پیوست (ت) آمده است خواص وابسته به دمای مواد تشکیل دهنده رویه‌های هدفمند و هسته که با پنج ثابت برای تابع مرتبه سوم وابسته به دمایی که در معادله (۳) ارائه شد تعریف شده است [۲]. تحلیل ارتعاشات آزاد در این کار برای حالت تکیه گاه گیردار و با تئوری مرتبه بالای اصلاح شده صفحه ساندویچی انجام شده است. تئوری مرتبه بالای صفحه ساندویچی در این کار با در نظر گرفتن اثرات تنش‌های صفحه‌ای هسته و اثرات خواص وابسته به دما اصلاح شده است. خواص فولاد ضد زنگ با (M) و خواص سیلیکون نیترید با (Ce) مشخص شد.



شکل (۲) صفحه ساندویچی هدفمند با رویه‌های (سیلیکون نیترید و فولاد ضد زنگ) و هسته فولادی ضد زنگ

نتایج تحلیلی ارتعاشات آزاد ورق ساندویچی مدور که با روش گلرکین حل شده با نتایج المان محدود مقایسه شده است که در جداول ۳-۵ ارائه می‌شود. نتایج المان محدود با استفاده از نرم افزار ABAQUS ، شکل (۳)، به دست آمده است.

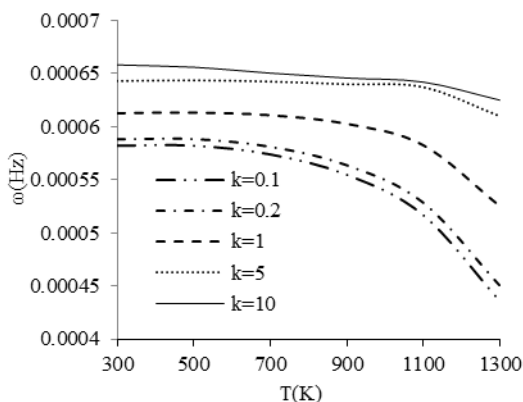


شکل (۳) مدل المان محدود ورق ساندویچ مدور با تکیه گاه گیردار

باعث کاهش صلابت صفحه ساندویچی می‌شود که یکی از دلایل کاهش فرکانس در دماهای بالاست.

جدول (۹) اثر دما بر مدول الاستیستیته سیلیکون نیترید و فولاد ضدزنگ			
دما(K)	سیلیکون نیترید	فولاد ضدزنگ	فولاد ضدزنگ(GPa)
۳۰۰	۳۲۲/۲۷(GPa)	۲۰۷/۷۹(GPa)	
۱۳۰۰	۲۶۸/۰۸(GPa)	۵۹/۵۲۳(GPa)	
تغییرات	%۱۶/۸۱	%۷۱/۳۵	

شکل‌های (۶-۴) تغییرات فرکانس طبیعی نسبت به دما را به ترتیب برای حالت‌های ۱-۸-۱، ۱-۱-۱ و ۱-۲-۱ با رویه گیردار و برای مقادیر مختلف توان تابع توانی نمایش می‌دهد. به عنوان مثال ساندویچ ۱-۸-۱ یک صفحه ساندویچی متقارن است که ضخامت هسته هشت برابر ضخامت هر یک از رویه‌هاست. در شکل‌های (۶-۴) مشاهده می‌شود که در یک توان ثابت تابع توانی با افزایش دما فرکانس طبیعی کاهش می‌یابد. در یک دمای ثابت با افزایش مقدار توان تابع توانی مقدار فرکانس طبیعی افزایش می‌یابد. از طرفی شب تغییرات فرکانس تا دمای (K) ۹۰۰ بسیار مایل است ولی در توان‌های کمتر از یک به خصوص در حالت‌های ۱-۸-۱ و ۱-۲-۱، این شب تغییرات، شدید است.



شکل (۴) تغییرات فرکانس طبیعی با دما در صفحه ساندویچی ۱-۸-۱ برای توان‌های مختلف تابع توانی

افزایش استحکام سازه و همچنین افزایش مقدار فرکانس ویژه اول می‌گردد.

جدول (۶) فرکانس طبیعی صفحه ساندویچی ۱-۸-۱ با توان‌های تابع توانی و دماهای مختلف

اندیس توانی	۹۰۰(K)	۳۰۰(K)	۱۳۰۰(K)	دما(K)
۰/۰۰۰۴۳۶۵۹	۰/۰۰۰۵۵۴۷۷۵	۰/۰۰۰۵۸۲۰۵	۰/۰۰۰۴۳۶۵۹	۰/۱
۰/۰۰۰۴۵۰۵۰	۰/۰۰۰۵۶۳۳۵	۰/۰۰۰۵۸۷۷۴	۰/۰۰۰۴۵۰۵۰	۰/۲
۰/۰۰۰۵۲۵۹	۰/۰۰۰۶۰۲۵	۰/۰۰۰۶۱۲۴	۰/۰۰۰۵۲۵۹	۱
۰/۰۰۰۶۱	۰/۰۰۰۶۳۹۷	۰/۰۰۰۶۴۲۷	۰/۰۰۰۶۱	۵
۰/۰۰۰۶۲۵	۰/۰۰۰۶۴۶	۰/۰۰۰۶۵۸	۰/۰۰۰۶۲۵	۱۰

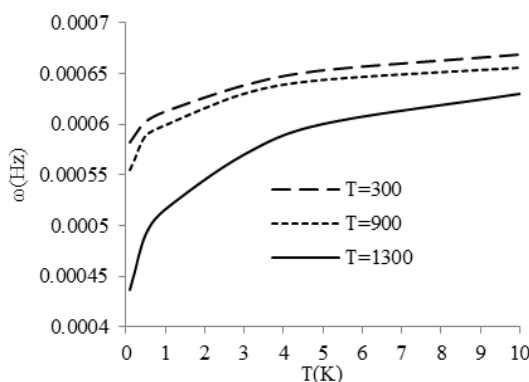
جدول (۷) فرکانس طبیعی صفحه ساندویچی ۱-۱-۱ با توان‌های تابع توانی و دماهای مختلف

اندیس توانی	۳۰۰(K)	۹۰۰(K)	۱۳۰۰(K)	دما(K)
۰/۰۰۰۸۱۲۲	۰/۰۰۰۸۵۲۲۰۳	۰/۰۰۰۸۶۴۴۳	۰/۰۰۰۸۱۲۲	۰/۱
۰/۰۰۰۸۲۲۰	۰/۰۰۰۸۶۰۷۵	۰/۰۰۰۸۹۴۸	۰/۰۰۰۸۲۲۰	۰/۲
۰/۰۰۰۸۳۹۷	۰/۰۰۰۹۱۶	۰/۰۰۰۹۳۹۳	۰/۰۰۰۸۳۹۷	۱
۰/۰۰۰۹۶۸۹	۰/۰۰۰۹۹۱	۰/۰۰۱۰۲	۰/۰۰۰۹۶۸۹	۵
۰/۰۰۱۰۱۵	۰/۰۰۱۰۲۷	۰/۰۰۱۰۵۱	۰/۰۰۱۰۱۵	۱۰

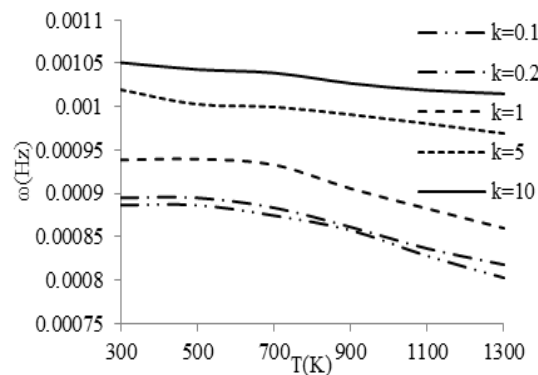
جدول (۸) فرکانس طبیعی صفحه ساندویچی ۱-۲-۱ با توان‌های تابع توانی و دماهای مختلف

اندیس توانی	۳۰۰(K)	۹۰۰(K)	۱۳۰۰(K)	دما(K)
۰/۰۰۰۵۹۵۱	۰/۰۰۰۷۲۰۶۸	۰/۰۰۰۷۶۷۷۵	۰/۰۰۰۵۹۵۱	۰/۱
۰/۰۰۰۶۰۲۹	۰/۰۰۰۷۳۳۵۷	۰/۰۰۰۷۷۷۵۹	۰/۰۰۰۶۰۲۹	۰/۲
۰/۰۰۰۶۷۴۸	۰/۰۰۰۸۰۱۸	۰/۰۰۰۸۲۵۹	۰/۰۰۰۶۷۴۸	۱
۰/۰۰۰۸۵۶	۰/۰۰۰۸۸۷۵	۰/۰۰۰۸۹۲۳	۰/۰۰۰۸۵۶	۵
۰/۰۰۰۸۹۹	۰/۰۰۰۹۱	۰/۰۰۰۹۲۵	۰/۰۰۰۸۹۹	۱۰

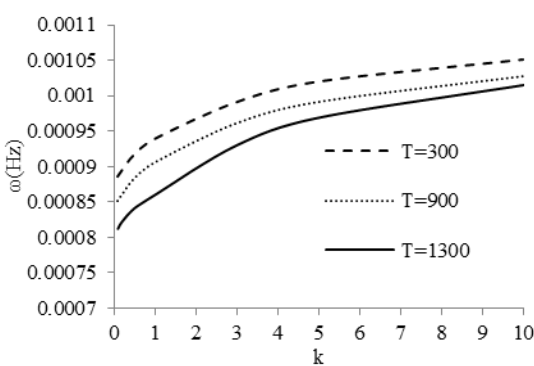
در جدول (۹) بین مدول الاستیک وابسته به دمای مواد تشکیل دهنده هسته و رویه‌ها مقایسه انجام شده است. مشاهده می‌شود که با افزایش دما مدول فلز و مدول سرامیک کاهش می‌یابد اما کاهش مدول الاستیک فلز بسیار چشمگیرتر است و یکی از عوامل استفاده از مواد هدفمند جلوگیری از کاهش خاصیت ماده در برابر تغییرات دما می‌باشد که با ترکیب فلز و سرامیک یک ماده با خواص مکانیکی فلز و خواص حرارتی سرامیک خواهیم داشت. همچنین افزایش دما خواص مکانیکی را کاهش می‌دهد و



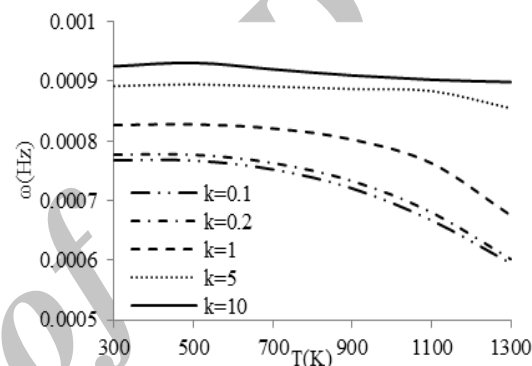
شکل (۷) تغییرات فرکانس طبیعی با توان تابع توانی برای صفحه ساندویچی ۱-۱ در دماهای مختلف



شکل (۸) تغییرات فرکانس طبیعی با توان تابع توانی برای توانهای مختلف



شکل (۹) تغییرات فرکانس طبیعی با توان تابع توانی برای صفحه ساندویچی ۱-۲ در دماهای مختلف



شکل (۱۰) تغییرات فرکانس طبیعی با دما برای توانهای مختلف

در شکل‌های (۷-۹) اثر کرنش غیرخطی رویه‌ها بر مقدار پارامتر فرکانس (۱) مورد بررسی قرار گرفته است. با دقت در شکل‌ها مشاهده می‌شود که در دمای ثابت با افزایش توان تابع توانی، مقدار فرکانس طبیعی زیاد می‌شود. این افزایش در ثابت‌های کوچکتر از یک شدت بیشتری دارد. با کاهش دما در یک مقدار ثابت توان تابع توانی، مقدار فرکانس افزایش می‌یابد و همچنین در یک توان ثابت تابع توانی مشاهده می‌شود که افزایش دما از دمای (۳۰۰) (K) تا (۹۰۰) (K) تاثیر کمی در تغییر فرکانس دارد ولی در دماهای بالاتر از این مقدار افت شدید در مقدار فرکانس طبیعی دیده می‌شود. همچنین در دمای ثابت، تغییر فرکانس از توان تابع توانی برابر پنج به بعد با شبیه ملایم انجام می‌شود.

۷-بحث و نتایج

ارتعاشات آزاد صفحه ساندویچی دایره‌ای با رویه‌های هدفمند وابسته به دما در این پژوهش بررسی شد. توزیع‌های مریع و مکعبی برای جایه‌جایی عمودی و افقی هسته در نظر گرفته شده است. بنابراین، مجھولات این مدل شامل ضرایب

T	دما (K)
u	مختصات در جهت x
v	مختصات در جهت y
w	مختصات در جهت z
δ	عملگر تغییرات
ω	فرکانس طبیعی (Hz)
λ	ضریب لاگرانژ

۹- پیوست

۱- پیوست الف

برای تعیین متجه‌های تنش و متجه‌های گشتاور برای هر کدام از رویه‌ها، معادلات به شکل زیر می‌باشد.

$$\begin{cases} N_{rr}^j \\ N_{\theta\theta}^j \\ N_{r\theta}^j \end{cases} = \begin{bmatrix} A_{11}^j & A_{12}^j & 0 \\ A_{12}^j & A_{22}^j & 0 \\ 0 & 0 & A_{66}^j \end{bmatrix} \begin{cases} \varepsilon_r^0 \\ \varepsilon_\theta^0 \\ \varepsilon_{r\theta}^0 \end{cases} + \begin{bmatrix} B_{11}^j & B_{12}^j & 0 \\ B_{12}^j & B_{22}^j & 0 \\ 0 & 0 & B_{66}^j \end{bmatrix} \begin{cases} k_r \\ k_\theta \\ k_{r\theta} \end{cases} - \begin{cases} N_{rr}^{Tj} \\ N_{\theta\theta}^{Tj} \\ N_{r\theta}^{Tj} \end{cases}, \quad (68)$$

$(j = t, b)$

$$\begin{cases} M_{rr}^j \\ M_{\theta\theta}^j \\ M_{r\theta}^j \end{cases} = \begin{bmatrix} B_{11}^j & B_{12}^j & 0 \\ B_{12}^j & B_{22}^j & 0 \\ 0 & 0 & B_{66}^j \end{bmatrix} \begin{cases} \varepsilon_r^0 \\ \varepsilon_\theta^0 \\ \varepsilon_{r\theta}^0 \end{cases} + \begin{bmatrix} D_{11}^j & D_{12}^j & 0 \\ D_{12}^j & D_{22}^j & 0 \\ 0 & 0 & D_{66}^j \end{bmatrix} \begin{cases} k_r \\ k_\theta \\ k_{r\theta} \end{cases} - \begin{cases} M_{rr}^{Tj} \\ M_{\theta\theta}^{Tj} \\ M_{r\theta}^{Tj} \end{cases}, \quad (69)$$

$(j = t, b)$

که $M_{\theta\theta}^{Tj}$ ، M_{rr}^{Tj} ، $N_{\theta\theta}^{Tj}$ ، N_{rr}^{Tj} ، D_{kl}^j ($k, l = 1, 2, 6$)، B_{kl}^j ($k, l = t, b$)، A_{kl}^j ($k, l = 1, 2, 6$) مولفه‌های ماتریس سفتی است که برای رویه‌های بالا و پایین به صورت زیر است:

$$N_{rr}^{Tj} = N_{\theta\theta}^{Tj} = \int_{-h_j/2}^{h_j/2} \left(\frac{E_j(z_j, T_j)}{1 - v_j(z_j, T_j)} \alpha_j(z_j, T_j) T_j \right) dz_j \quad (70)$$

$$M_{rr}^{Tj} = M_{\theta\theta}^{Tj} = \int_{-h_j/2}^{h_j/2} \left(\frac{E_j(z_j, T_j)}{1 - v_j(z_j, T_j)} \alpha_j(z_j, T_j) T_j \right) z_j dz_j \quad (71)$$

این چندجمله‌ای‌ها به همراه جابه جایی‌های رویه‌هاست. این مدل بر وجود منتجه‌های مرتبه بالای هسته اشاره دارد که با هیچ تغییر فیزیکی سازگاری ندارد. این مدل با در نظر گرفتن تنش‌های درون صفحه‌ای هسته و معادلات حرکت که با استفاده از روش کاهش معادلات حل می‌شود، اصلاح شده است. نتایج به دست آمده برای صفحه ساندویچی دوره هدفمند با توانهای تابع توانی مختلف و هسته نرم با نتایج نرم‌افزار Abaqus برای تحلیل ارتعاشات آزاد صفحه ساندویچی هدفمند دوره مقایسه شد که نتایج زیر به دست آمده است:

۱- با افزایش دما در یک توان ثابت تابع توانی، فرکانس طبیعی کاهش می‌یابد.

۲- افزایش توان تابع توانی در یک دمای ثابت باعث افزایش فرکانس طبیعی می‌شود.

۳- افزایش دما از دمای (K) ۳۰۰ تا (K) ۹۰۰ تأثیر کمی در تغییر فرکانس دارد ولی در دماهای بالاتر از این مقدار، افت شدید در مقدار فرکانس طبیعی دیده می‌شود.

۴- شب تغییرات فرکانس تا دمای (K) ۹۰۰ بسیار ملایم است ولی در توانهای کوچکتر از یک به خصوص در حالت‌های ۱-۸-۱ و ۱-۲-۱، این شب تغییرات، شدید است.

۵- با افزایش دما مدول الاستیسیته فلز و سرامیک کاهش می‌یابد اما کاهش مدول فلز بسیار چشمگیرتر از کاهش مدول سرامیک است که منجر به استفاده از ترکیب سرامیک-فلز به صورت مواد هدفمند می‌شود.

۸- فهرست علاوه

K	انرژی جنبشی
U	انرژی کرنشی (J)
t	زمان (s)
E	مدول یانگ (GPa)
G	مدول برشی (GPa)
h	ضخامت (m)
ϑ	ضریب پواسون

$$(I_{0c}, I_{1c}, I_{2c}, I_{3c}, I_{4c}, I_{5c}, I_{6c}) = \int_{-hc/2}^{hc/2} (\rho_c(T_c)(1, z_c, z_c^2, z_c^3, z_c^4, z_c^5, z_c^6)) dz_c \quad (V7)$$

که I_{kt}, I_{kb} ($k = 0, 1, 2$) عبارات اینرسی رویه‌های FG بالا و پایین است؛ I_{lc} ($l = 0, \dots, 6$) عبارات اینرسی هسته است؛ $\rho_j(z_j, T_j)$ ($j = t, b$) چگالی رویه‌های بالا و پایین است که به صورت P-FGM در پیوست الف تعریف شد. (T_c) چگالی هسته است.

۳-۹-پیوست پ

با در نظر گرفتن اینکه هسته ایزوتروپ است، تنش‌های وابسته به دمای هسته به شکل زیر تعریف می‌شود.

$$\sigma_n^c = E_c(T_c) \varepsilon_n^c \quad (V8)$$

$$\sigma_{00}^c = E_c(T_c) \varepsilon_{00}^c \quad (V9)$$

$$\sigma_{zz}^c = E_c(T_c) \varepsilon_{zz}^c \quad (V10)$$

$$\tau_{rz}^c = G_c(T_c) \varepsilon_{rz}^c \quad (V11)$$

$$\tau_{0z}^c = G_c(T_c) \varepsilon_{0z}^c \quad (V12)$$

$$\tau_{r0}^c = G_c(T_c) \varepsilon_{r0}^c \quad (V13)$$

یادآور می‌شود که این روابط در منتجه‌های تنش هسته مرتبه بالا جایگذاری می‌شود.

۴-۹-پیوست ت

جدول شماره (۱) که مربوط به خواص مواد به کار رفته در ساندویچ مدور می‌باشد.

$$\begin{Bmatrix} A_{11}^j \\ B_{11}^j \\ D_{11}^j \end{Bmatrix} = \begin{Bmatrix} A_{22}^j \\ B_{22}^j \\ D_{22}^j \end{Bmatrix} = \quad (V12)$$

$$\int_{-hj/2}^{hj/2} \left(\frac{E_j(z_j, T_j)}{1 - v_j(z_j, T_j)^2} \right) \begin{Bmatrix} 1 \\ z_j \\ z_j^2 \end{Bmatrix} dz_j \quad (V13)$$

$$\begin{Bmatrix} A_{12}^j \\ B_{12}^j \\ D_{12}^j \end{Bmatrix} = \quad (V14)$$

$$\int_{-hj/2}^{hj/2} \left(\frac{v_j(z_j, T_j) \cdot E_j(z_j, T_j)}{1 - v_j(z_j, T_j)^2} \right) \begin{Bmatrix} 1 \\ z_j \\ z_j^2 \end{Bmatrix} dz_j \quad (V15)$$

$$\begin{Bmatrix} A_{66}^j \\ B_{66}^j \\ D_{66}^j \end{Bmatrix} = \quad (V16)$$

$$\int_{-hj/2}^{hj/2} \left(\frac{E_j(z_j, T_j)}{1 - v_j(z_j, T_j)^2} \right) \begin{Bmatrix} 1 \\ z_j \\ z_j^2 \end{Bmatrix} dz_j \quad (V17)$$

که $a_j(z_j, T_j)$ ، $v_j(z_j, T_j)$ ، $E_j(z_j, T_j)$ مدول ارجاعی، ضریب پواسون و ضریب انبساط حرارتی رويه‌هاست و توسط تابع توانی FGM برای هسته نرم و هسته سخت صفحه ساندویچی است:

$$P_t(z_t, T_t) = (P_m(T_t) - P_{ce}(T_t)) \left(\frac{z_t + h_t/2}{h_t} \right)^k + P_{ce}(T_t) \quad (V18)$$

$$P_b(z_b, T_b) = (P_m(T_b) - P_{ce}(T_b)) \left(\frac{z_b + h_b/2}{h_b} \right)^k + P_{ce}(T_b) \quad (V19)$$

که اندیس‌های "m" و "Ce" مربوط به فلز و سرامیک است؛ k توان مثبت ثابت تابع P-FGM و P برابر است با هر خاصیت رويه FG، مثلاً مدول الاستیسیته E ضریب پواسون v، ضریب انبساط حرارتی α و چگالی ρ.

۴-۹-پیوست ب

$$(I_{0j}, I_{1j}, I_{2j}) = \int_{-hj/2}^{hj/2} (\rho_j(z_j, T_j)(1, z_j, z_j^2)) dz_j, (j = t, b) \quad (V20)$$

جدول (۲) خواص وابسته به دمای مواد تشكیل دهنده رویه های هدفمند، فولاد ضدزنگ (SUS304) و سیلیکون نیترید (Si3N4)

E(Ce)	α (Ce)	ν (Ce)	ρ (Ce)	E(M)	α (M)	ν (M)	ρ (M)	
$9e^{348}/43223$	$-9e5/87223$	$.24$	2370	$9e20.1/0.3547$	$-9e12/133$	$.32622351$	8166	C_0
.	C_1
$-4e-3/0.697386$	$.0009$.	.	$-4e3/0.79296$	$.0008$	$-4e-2/0.1822$.	C_1
$-7e2/16.186$.	.	.	$-7e-9/52371$.	$-7e3/7973578$.	C_2
$-11e-8/946165$	C_3

- [9] Loy CT, Lam KY, Reddy JN., Vibration of functionally graded cylindrical shells, Int J Mech Sci, N0.41, 1999, pp.309–324.
- [10] Mantari JL., Granados EV., Guedes Soares C., Vibrational analysis of advanced composite plates resting on elastic foundation, Compos Part B – Eng, No.66, 2014, pp.407–419.
- [11] H. A. Sherif., Free flexural vibrations of clamped circular sandwich plates, Journal of Sound and Vibration, Vol.3, No.157, 1992, pp.531–537.
- [12] T. Prakash, M. Ganapathi, Asymmetric flexural vibration and thermoelastic stability of FGM circular plates using finite element method, Composites-Part B, No.37, 2006, pp. 642–649.
- [13] G.J. Nie, Z. Zhong., Semi-analytical solution for three-dimensional vibration of functionally graded circular plates, Comput. Methods Appl. Mech. Engrg, No.196, 2007, pp.4901–4910.
- [14] Liu, C.F., Lee, Y.T., Finite element analysis of three-dimensional vibrations of thick circular and annular plates. J. Sound Vib. Vol. 233, 2000, pp. 63–80.
- [15] Zhao, D., Au, F.T.K., Cheung, Y.K., Lo, S.H., Three-dimensional vibration analysis of circular and annular plates via the Chebyshev-Ritz method. Int. J. Solids Struct. Vol. 40, 2003, pp. 3089–3105.
- [16] Wu, T.Y., Liu, G.R., Free vibration analysis of circular plates with variable thickness by the generalized differential quadrature rule. Int. J. Solids Struct. Vol.38, 2001, pp. 7967–7980.
- [17] Wu, T.Y., Wang, Y.Y., Liu, G.R., Free vibration analysis of circular plates using generalized differential quadrature rule. Comput. Methods Appl. Mech. Eng. Vol. 191, 2002, pp.5365–5380.
- [18] G. C. Kung, Y.H. Pao, Nonlinear flexural vibrations of a clamped circular plate, J. Appl. Mech Vol. 39, No.4, 1972, pp.1050-1054.

مراجع:

- [1] Shen Shen, H., Rong Li, S., Post-buckling of sandwich plates with FGM face sheets and temperature-dependent properties, Compos. Part B 39, 2008, pp.332-344.
- [2] Reddy, J.N., Thermo Mechanical Behavior of Functionally Graded Materials .Texas. 1998.
- [3] Zhao, J., Li, Y., Ai, X., Analysis of transient thermal stress in sandwich plate with functionally graded coatings. Thin Solid Films No. 516, 2008, pp.7581-7587.
- [4] Reddy JN., Analysis of functionally graded plates, Int J Numer Meth Eng, No.47, 2000, pp.663–684.
- [5] A. Alibeigloo, K.M. Liew, Free vibration analysis of sandwich cylindrical panel with functionally graded core using three-dimensional theory of elasticity. Composite Structures, Vol.113, 2014, pp. 23–30.
- [6] F.Tornabene, E. Viola, N. Fantuzzi, General higher-order equivalent single layer theory for free vibrations of doubly-curved laminated composite shells and panels. Composite Structures, Vol.104, 2013, pp. 94–117.
- [7] M. B. Dehkordi, S.M.R. Khalili, E. Carrera, Non-linear transient dynamic analysis of sandwich plate with composite face-sheets embedded with shape memory alloy wires and flexible core- based on the mixed LW (layer-wise)/ESL(equivalent single layer) models. Composites Part B: Engineering, Vol.87, 2016, pp. 59–74.
- [8] Cheng ZQ, Batra RC., Exact correspondence between eigenvalues of membranes and functionally graded simply supported polygonal plates,"J Sound Vib, No.229, 2000, pp.879–895.

- [30] M.M. Najafzadeh, M.R. Eslami, Buckling analysis of circular plates of functionally graded materials under uniform radial compression, International Journal of Mechanical Sciences, No.44, 2002, pp.2479–2493.
- [19] Ghaheri, A. and Nosier, A., Nonlinear forced vibrations of thin circular functionally graded plates,” In Persian, Journal of Science and Technology of Composite, Vol. 1, No. 2, 2015, pp. 1-10.
- [20] Ming Liu, Yuansheng Cheng, Jun Liu., High-order free vibration analysis of sandwich plates with both functionally graded face sheets and functionally graded flexible core, Composites-Part B, No.72, 2015, pp.97–107.
- [21] Shu Xuefeng, Zhang Xiaoqing, Zhang Jinxiang, Thermoelastic free vibration of clamped circular plate, Appl Math Mech, Vol. 21, No.6, 2000, pp. 715-724.
- [22] Frostig, Y., Thomsen, O.T., On the free vibration of sandwich panels with a transversely flexible and temperature-dependent core material e, part I: mathematical formulation. J. Compos. Sci. Technol, No.69, 2009, pp.856-862.
- [23] Frostig, Y., Thomsen, O.T., Non-linear thermal response of sandwich panels with a flexible core and temperature dependent mechanical properties.” Compos. Part B: Eng (special issue, Rajapakse YDS.ONR), Vol.1, No.39, 2008, pp.165-184.
- [24] S.M.R. Khalili, Y. Mohammadi, Free vibration analysis of sandwich plates with functionally graded face sheets and temperature-dependent material properties: A new approach, European Journal of Mechanics A/Solids, No.35, 2012, pp.61-74.
- [25] Reddy, J.N., Energy Principles and Variational Methods in Applied Mechanics, Wiley & Sons, New York, 1984.
- [26] Reddy, J.N., Thermo Mechanical Behavior of Functionally Graded Materials, Texas, 1998.
- [27] Y. Kiani, M. R. Eslami., Instability of heated circular FGM plates on a partial Winkler-type foundation, Acta Mech, No.224, 2013, pp.1045–1060.
- [28] Young-Wann Kim, Temperature dependent vibration analysis of functionally graded rectangular plates, Journal of Sound and Vibration, No. 284 , 2005, pp.531–549.
- [29] M. Es'haghi n, Sh.HosseiniHashemi, M. Fadaee., Vibration analysis of piezoelectric FGM sensors using an accurate method, International Journal of Mechanical Sciences, No.53, 2005, pp.585–594.